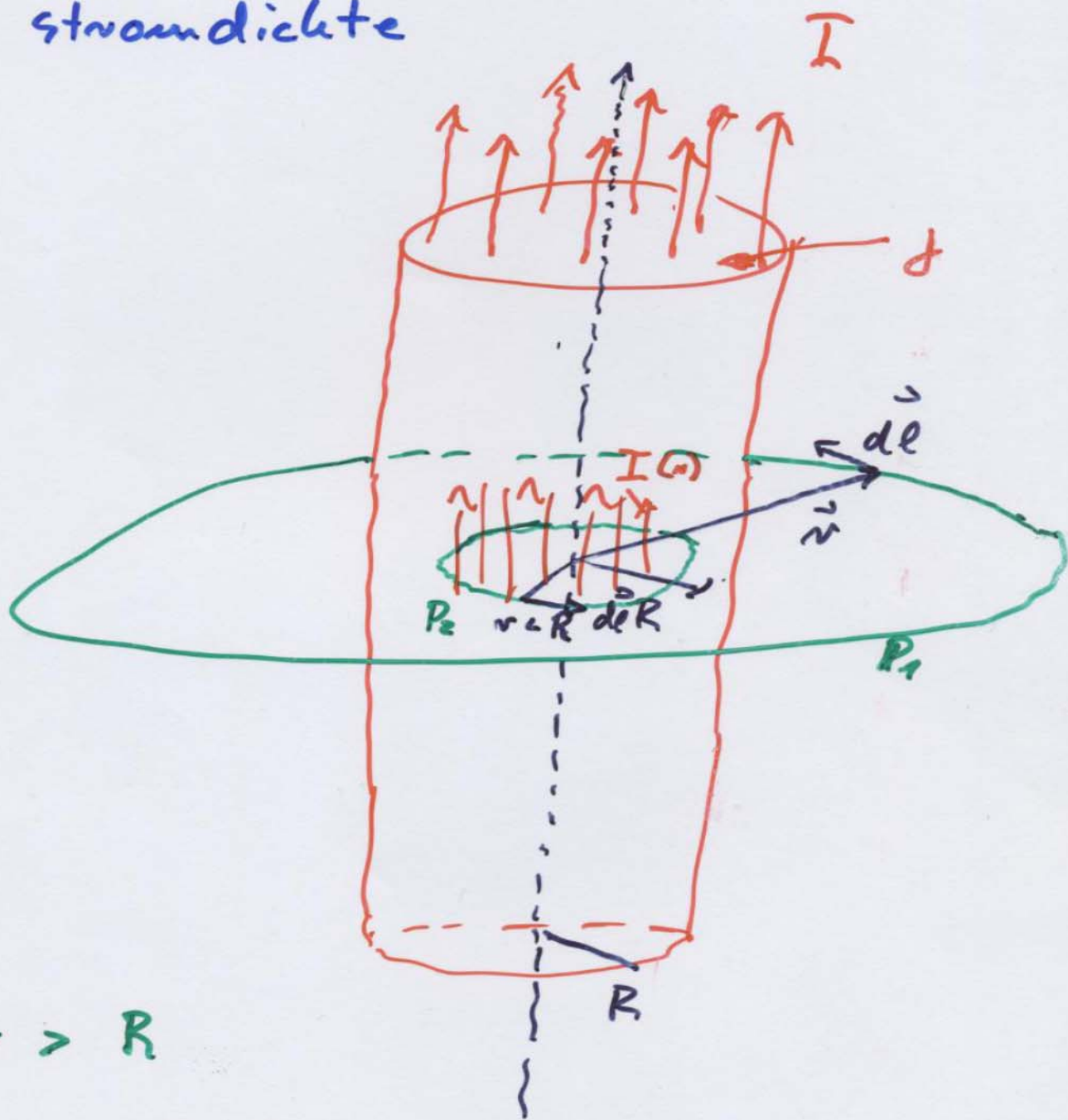


Anwendung: Berechnung von Magnetfeldern

(i) ∞ langen Zylindern mit konstanter Stromdichte



a) $r > R$

$$\oint_R \vec{B} d\ell = \mu_0 \cdot I$$
$$= B(r) \cdot 2\pi r \quad \left. \begin{array}{l} \\ \end{array} \right\} B(r) = \frac{\mu_0 I}{2\pi r}$$

(A.G.)

b) $n < R$:

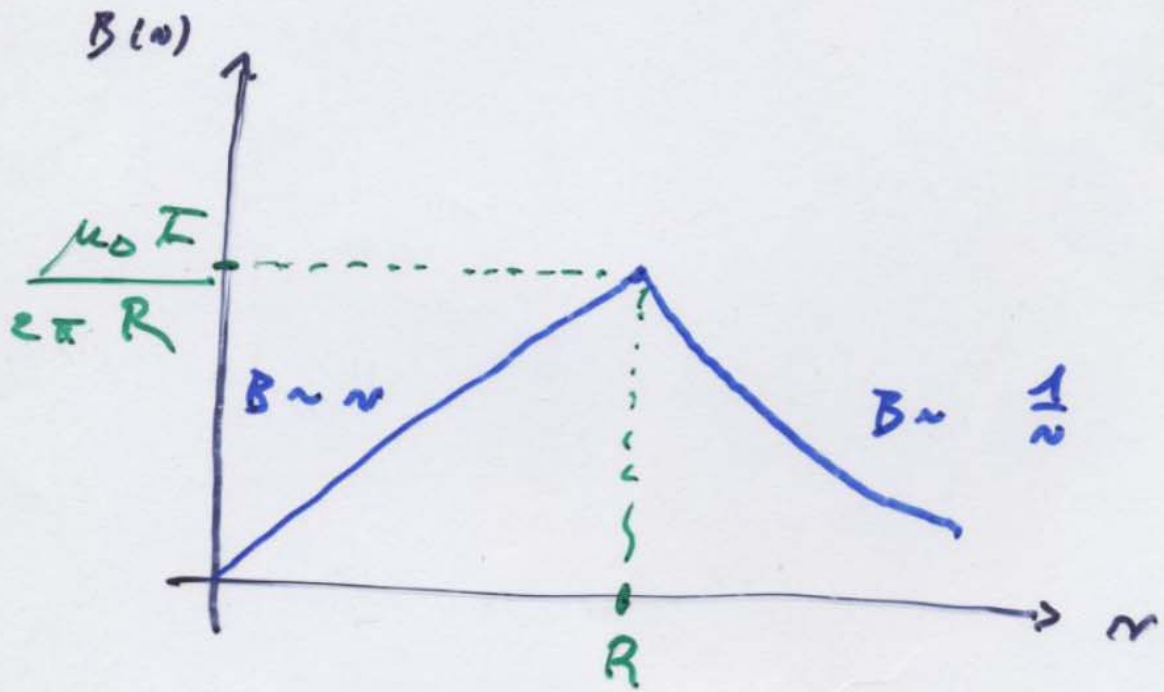
$$\oint_{R_2} \vec{B} \cdot d\vec{l} = \mu \cdot I(n)$$

↑

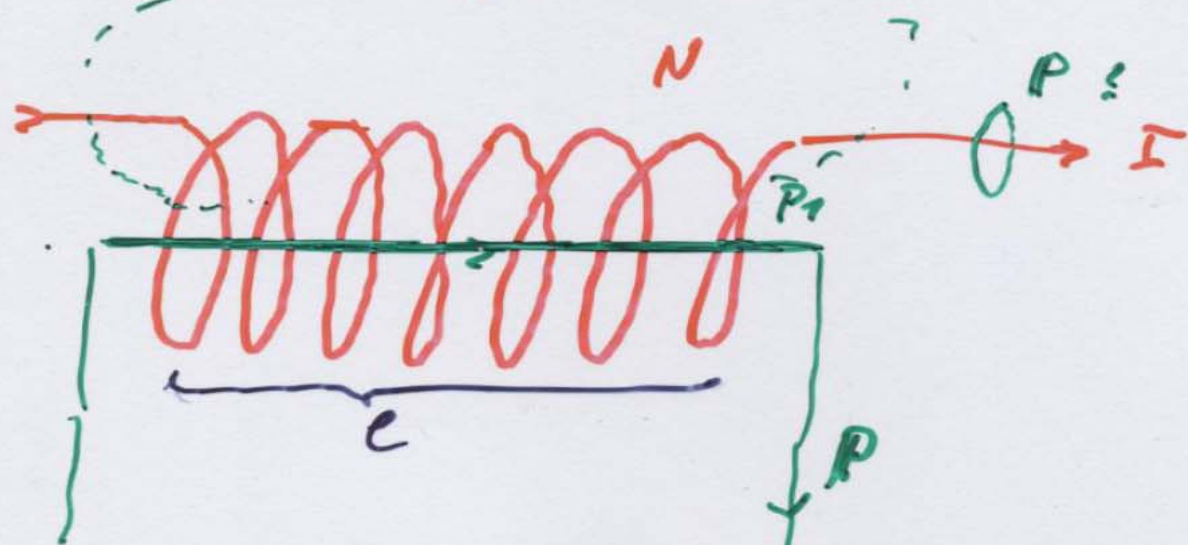
strom durch
Fläche πn^2

$$I(n) = I \cdot \frac{\pi n^2}{4 R^2}$$

$$B(n) = \mu_0 \cdot \frac{I}{2\pi R^2} \cdot n$$



ii) Magnetfeld einer Spule mit
N Windungen --



$$\oint_P \vec{B} d\vec{l} = \int_{P_1} \vec{B} d\vec{l} + \int_{P_2+P_4} \vec{B} d\vec{l} + \int_{P_3} \vec{B} d\vec{l} = B \cdot l = \mu_0 \cdot N \cdot I$$

$$\Rightarrow B = \frac{\mu_0 \cdot N \cdot I}{l}$$

$$= \mu_0 \cdot m \cdot I$$

Achtung: nur im Zentrum,
 $l \gg R$

4.2 Das Magnetfeld und sein Potential

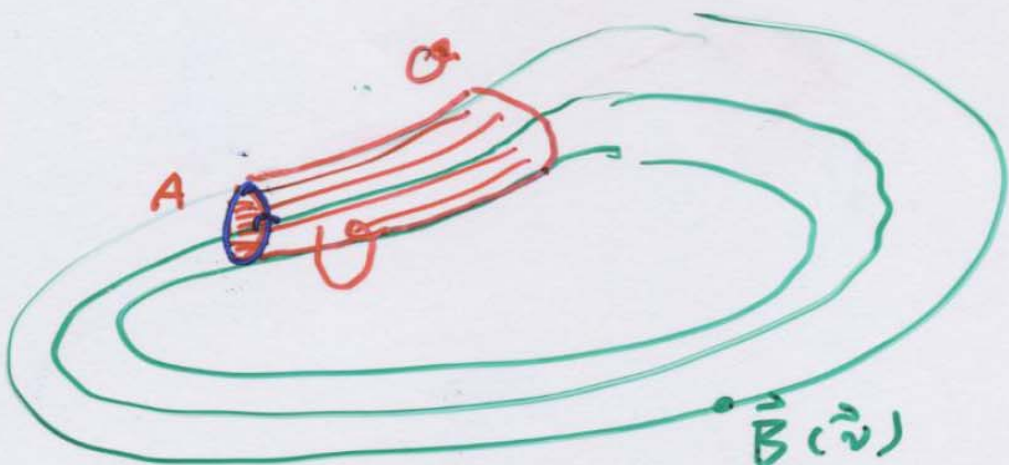
4.2.1. Math. Einstieg

Gaußscher Satz: $\int_V \operatorname{div} \vec{E} dV = \oint_S \vec{E} d\vec{A}$

Stokeschen Satz: $\int_A \operatorname{rot} \vec{B} dA = \oint_P \vec{B} d\vec{l}$

Feynman Lectures

4.2.2. Magnetischer Kraftfluss



a) $\Phi_m = \int_A \vec{B} d\vec{A}$

[Erläuterung:
 $\Phi_{el} = \int_A \vec{E} d\vec{A}$]

$$\oint \vec{B} d\vec{A} = 0$$

Magn. Feldlinien
sind in sich
geschlossen

$$= \int_{\mathcal{C}} d\vec{\omega} \cdot \vec{B} dv$$

$$\Rightarrow \underline{\operatorname{div} \vec{B} = 0}$$

6) $\oint_P \vec{B} d\vec{l} = \mu_0 \cdot I$

$$= \int_{\text{not}} \vec{B} d\vec{A}$$

$$= \mu_0 \cdot \underbrace{\int \vec{j} d\vec{A}}_I$$

$$\Rightarrow \underline{\operatorname{not} \vec{B} = \mu_0 \cdot \vec{j}}$$

Ampere's Law
in diff. Form.

9. 2. 3 Das Vektorpotential

Konservative Kraftfelder: $\vec{E} = -\nabla V$
↑
Potential

Coulombfeld: $\Delta V = -\frac{q}{\epsilon_0}$
Has Quellen und Senken

Funktioniert nicht für das \vec{B} -Feld:

$\vec{B} = -\nabla W$, $\Rightarrow \text{not } \vec{B} = 0$!
stimmt nicht,
da B -Feld Winkel
hat.

$$\operatorname{Div} \vec{B} = 0$$

B -Feld hat
keine Quellen

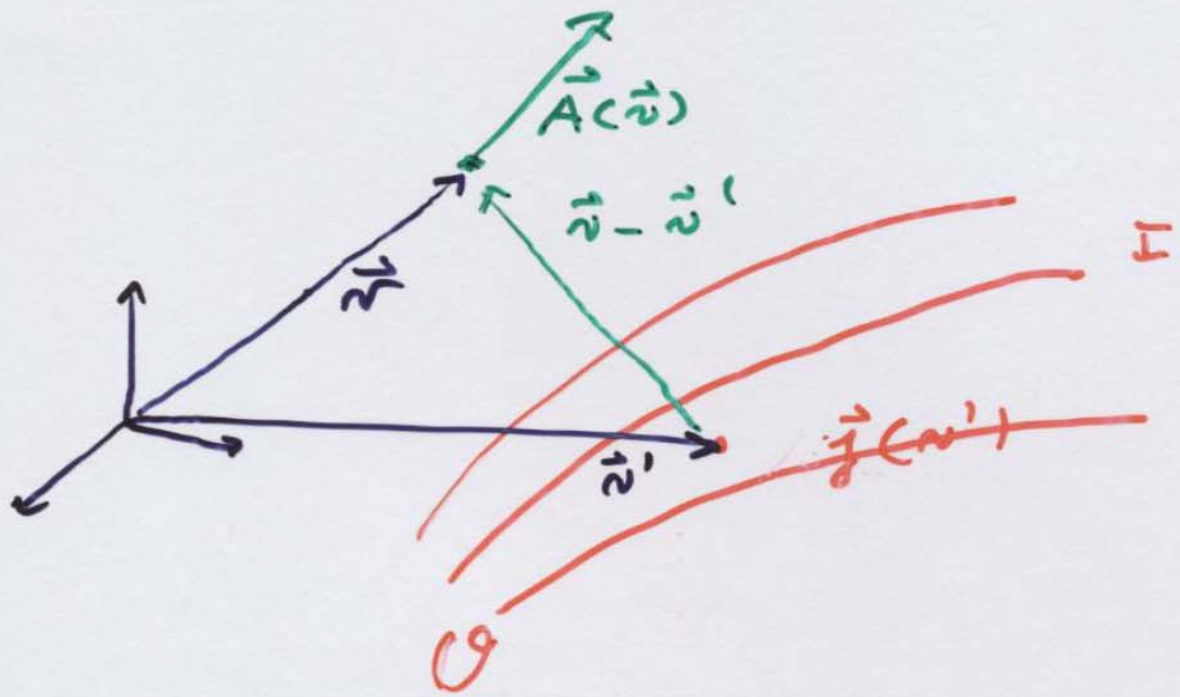
Ausatz für Potential des Magnetfelder:

$$\vec{B} = \text{not } \vec{A}$$

↑
„Vektorpotential“

$$\rightarrow \text{erfüllt } \operatorname{div} \vec{B} = 0$$

$$\vec{A}(\vec{r}) = \frac{\mu_0}{4\pi} \int_G \frac{\vec{j}(\vec{r}')}{|\vec{r} - \vec{r}'|} d^3 r'$$

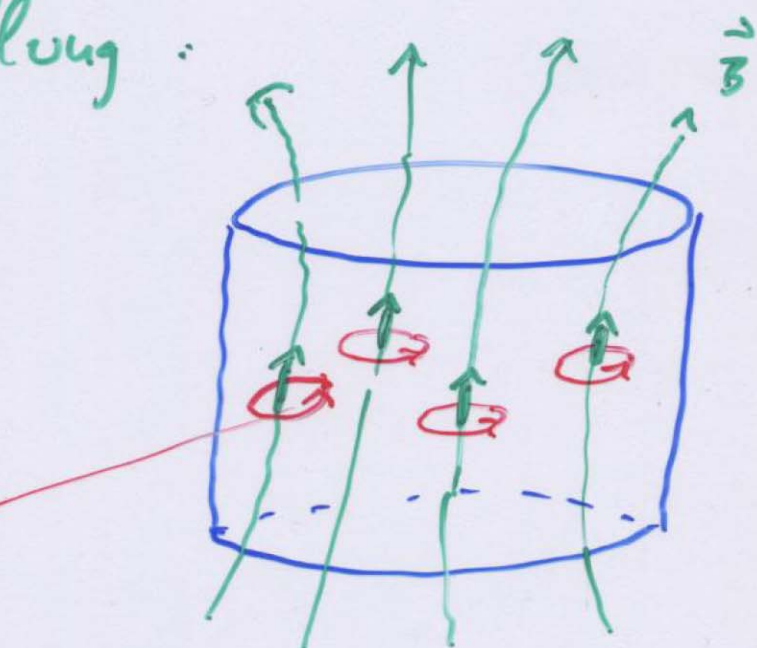
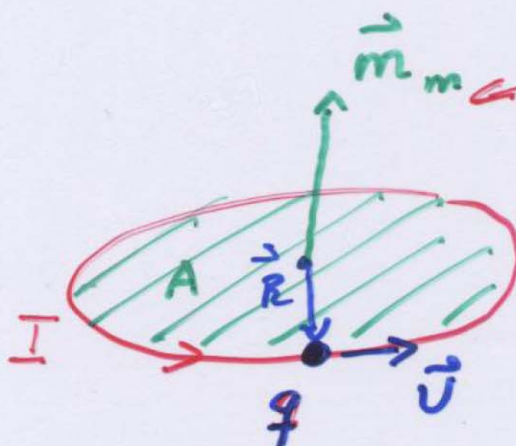


4.3 Materie im Magnetfeld

Klassische Vorstellung:

kreisströme erzeugen

Magnetfeld



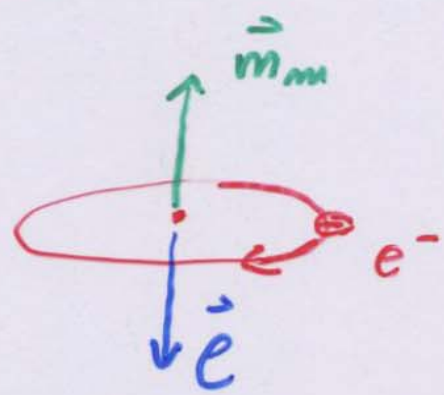
$$I = q \cdot \frac{v}{2\pi R} = q \cdot \omega \\ = q \cdot \frac{\omega}{2\pi}$$

$$\text{Magnet-Moment: } \vec{m}_m = I \vec{A} \\ = q \cdot \frac{\omega}{2\pi} \cdot \pi R^2 \\ = \frac{q}{2} R^2 \vec{\omega}$$

$$\text{Drehimpuls: } \vec{L} = m (\vec{R} \times \vec{v}) \\ = m \cdot R^2 \cdot \vec{\omega}$$

$$\Rightarrow \vec{m}_m = \frac{q}{2m} \cdot \vec{L}$$

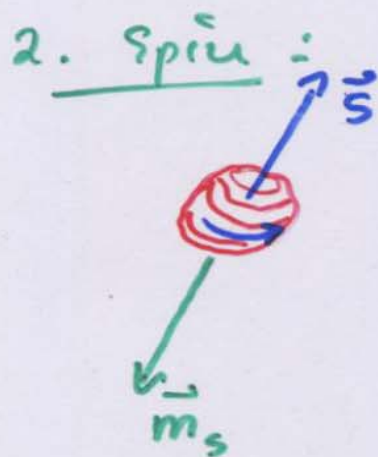
gyromagnetisches Verhältnis



1. Bohr-Drehimpuls:

$$\begin{aligned}\vec{m}_m &= -\frac{e}{2m_e} \vec{e} \\ &= -\frac{e \cdot \tau_h}{2m_e} \cdot \frac{\vec{e}}{\tau_h} \\ &\equiv -\mu_B \cdot \frac{\vec{e}}{\tau_h}\end{aligned}$$

Bolzmannsches Magnetou



$$\begin{aligned}\vec{m}_s &\approx -g \frac{e}{2m_e} \vec{s} \\ &= -g \cdot \mu_B \cdot \frac{\vec{s}}{\tau_h}\end{aligned}$$

Landefaktor ≈ 2

$$\mu_B = 0,93 \cdot 10^{-25} \text{ Am}^2$$

$$h = 2\pi \hbar = 6,63 \cdot 10^{-34} \text{ Js}$$

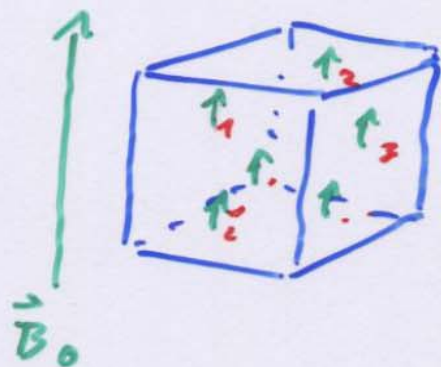
Planck'sches Wirkungsquantum

\vec{p} Bahndrehimpuls $[t]$
 \vec{s} Spur $[t]$

4. 3. 2 Erscheinungsformen des Magnetismus

1] Paramagnetismus

Stoffe, die ein permanentes \vec{m}_m besitzen (d.h. Atome)



- \vec{B}_0 richtet \vec{m}_{mi} aus: $\vec{m}_{mi} \uparrow\uparrow \vec{B}_0$
- Thermische Stöße bringen Ausrichtung durcheinander

Vergleichbare Energien:

- Thermische Energie: $E_T = \frac{3}{2} k \cdot T$
pno Atom
 \uparrow
[K]

- Energie des \vec{m}_{mi} im \vec{B}_0 Feld:

$$E_{mi} = -\vec{m}_{mi} \cdot \vec{B}_0$$

$$\frac{N_{\uparrow \downarrow}}{N_{\uparrow \uparrow}} = e^{-\frac{\Delta E_{mi}}{\frac{3}{2} kT}}$$

* Boltzmann - Statistik

Ausrichtung zum
 \vec{B}_0 Feld

$$= e^{-\frac{q mm B_0}{3 kT}}$$

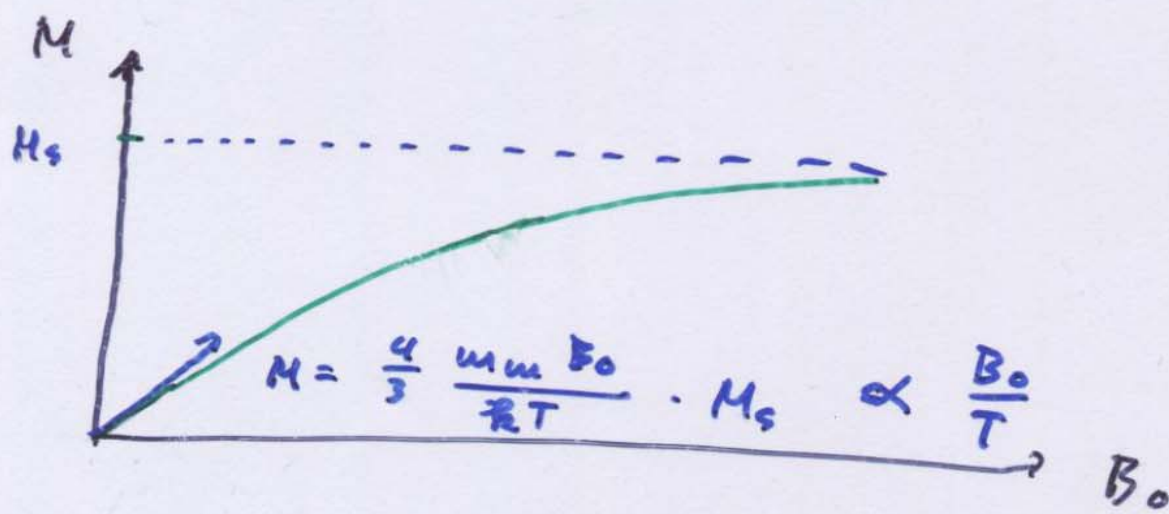
$$\approx 1 - \frac{q mm B_0}{3 kT}$$

$N_{\uparrow \downarrow} = N_{\uparrow \uparrow}$

Differenz \Rightarrow Magnetisierung

$$B_0: \Delta E_m = 2 \cdot 10^{-23} J \text{ bei } B_0 = 1 T$$

$$\frac{3}{2} kT = 6 \cdot 10^{-21} J \text{ bei } T = 300^\circ$$



statist. Herleitung:

Wahrscheinlichkeit, daß Teilchen in einem bestimmten Energienzustand ist:

$$\sim e^{-\frac{\text{Energie d. Zustands}}{m \cdot kT}}$$

\perp ausgerichtet zu \vec{B}_0
 $\frac{N_{\downarrow \uparrow}}{N_{\uparrow \uparrow}} = e^{-\frac{\Delta E_m i}{3/2 kT}}$

\parallel ausgerichtet zu \vec{B}_0

Boltzmann - statistisch

↑

Wahrscheinlichkeit, dass Teilchen in einem bestimmten Energiezustand ist.

$$\frac{N_{\uparrow \downarrow}}{N_{\uparrow \uparrow}} = e^{-\frac{4m_{mi} B_0}{3kT}}$$

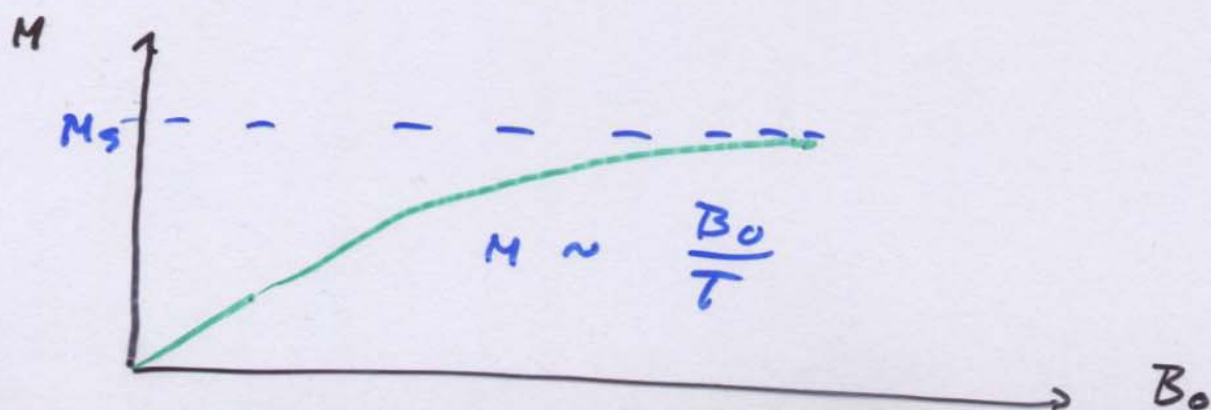
$$\approx 1 - \frac{4m_{mi} B_0}{3kT}$$

↑

Differenz → Magnetisierung

Bs: $\Delta E_m = 2 \cdot 10^{-23} \text{ J}$ bei $B_0 = 1 \text{ T}$

$\frac{3}{2} kT = 6 \cdot 10^{-21} \text{ J}$ bei $T = 300 \text{ K}$



Awendung

Erzeugung Tiefster Temperaturen (0cmk)

- Abkühlung mit fl. He (4k)
- Einschalten eines starken Magnetfeldes
 \Rightarrow Ausrichtung der magn. Momente
- Isolierung des Stabes
- Abschaltung des Magnetfeldes
 \Rightarrow Umwandlung therm. Energie
in Demagnetisierung